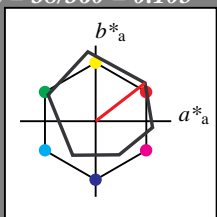


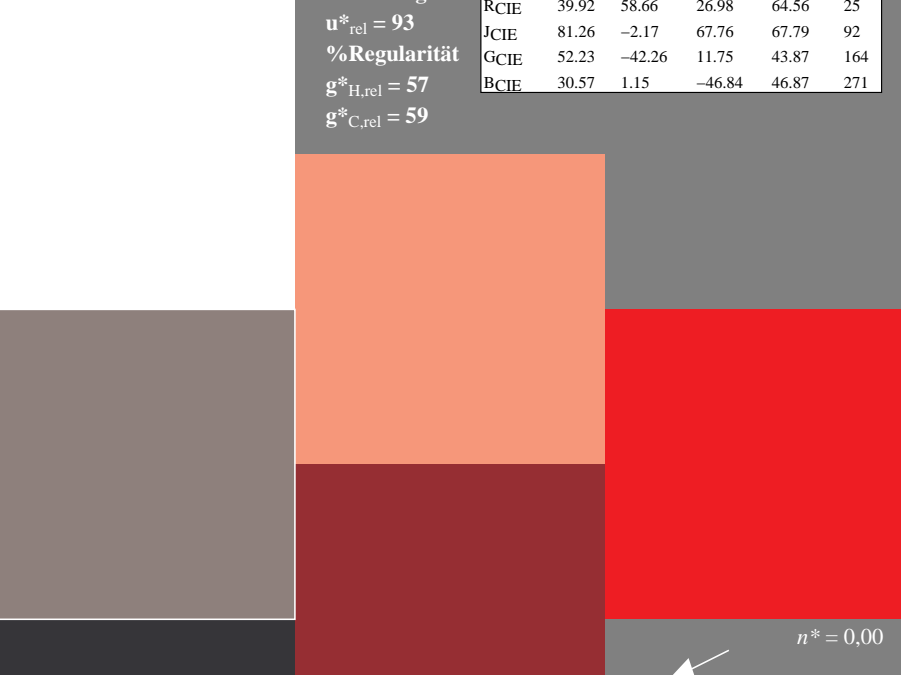
## Eingabe: Farbmétrisches Reflexions-System ORS18

für Buntton  $h^* = lab^*h = 38/360 = 0.105$   
lab\*tch und lab\*nchD65: Buntton O  
LCH\*Ma: 48 83 38  
olv\*Ma: 1.0 0.0 0.0  
Dreiecks-Helligkeit  $t^*$ 

%Umfang

 $u^*_{\text{rel}} = 93$ 

%Regularität

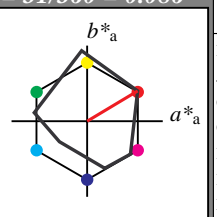
 $g^*_{H,\text{rel}} = 57$  $g^*_{C,\text{rel}} = 59$  $n^* = 1,0$ 

0,25      0,50      0,75      1,00

relative Buntheit  $c^*$

www.ps.bam.de/UG01/10S/S01G00NP.PS/.PDF; Start-Ausgabe  
N: Keine Ausgabe-Linearisierung (OL) in Datei (F), Startup (S), Gerät (D)

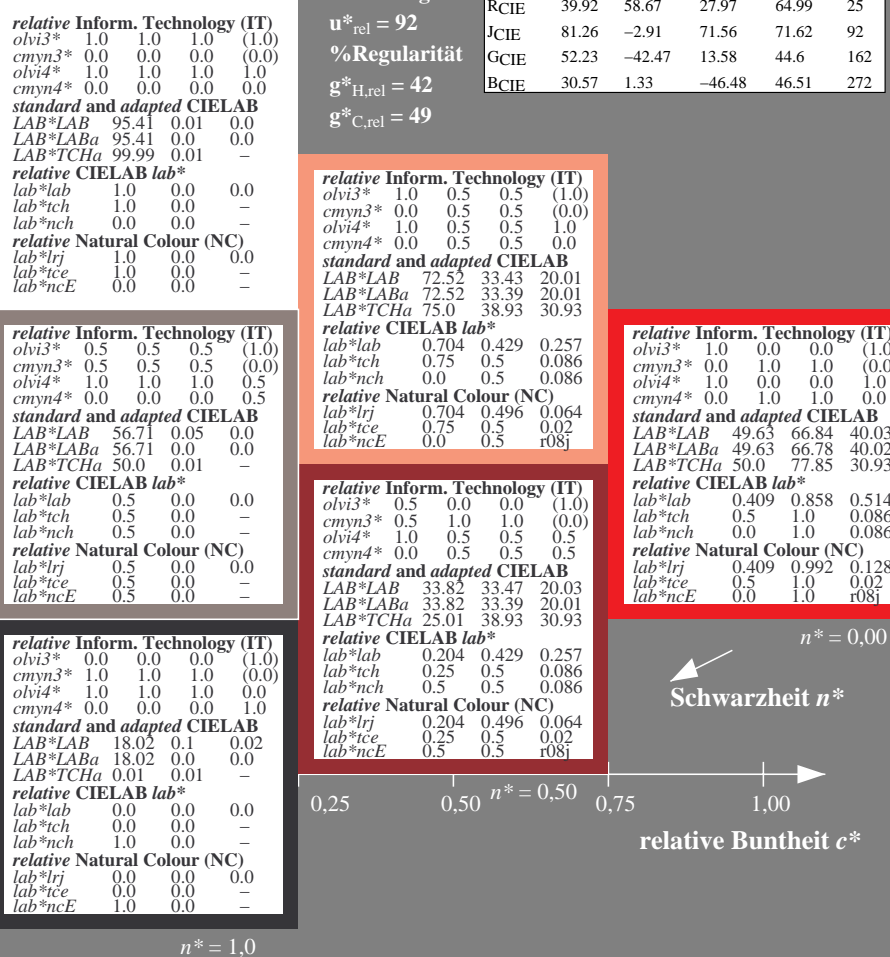
## Ausgabe: Farbmétrisches Reflexions-System MRS18a

für Buntton  $h^* = lab^*h = 31/360 = 0.086$   
lab\*tch und lab\*nchD65: Buntton R  
LCH\*Ma: 50 78 31  
olv\*Ma: 1.0 0.0 0.0

%Umfang

 $u^*_{\text{rel}} = 92$ 

%Regularität

 $g^*_{H,\text{rel}} = 42$  $g^*_{C,\text{rel}} = 49$ 

3stufige Reihen für konstanten CIELAB Buntton 38/360 = 0.105 (links)

BAM-Prüfvorlage UG01; Farbmétrik-Systeme ORS18 &amp; MRS18

input: cmy0\* setcmykcolor  
D65: 3stufige Farbreihen und Koordinaten-Daten für 10 Bunttöneoutput: no change compared to input

### Eingabe: Farbmétrisches Reflexions-System ORS18

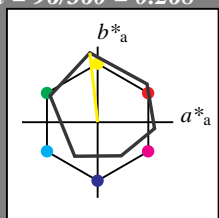
für Bunton  $h^* = lab^*h = 96/360 = 0.268$   
 $lab^*tch$  und  $lab^*nch$

D65: Bunton Y

LCH\*Ma: 90 92 96

olv\*Ma: 1.0 1.0 0.0

Dreiecks-Helligkeit  $t^*$



%Umfang

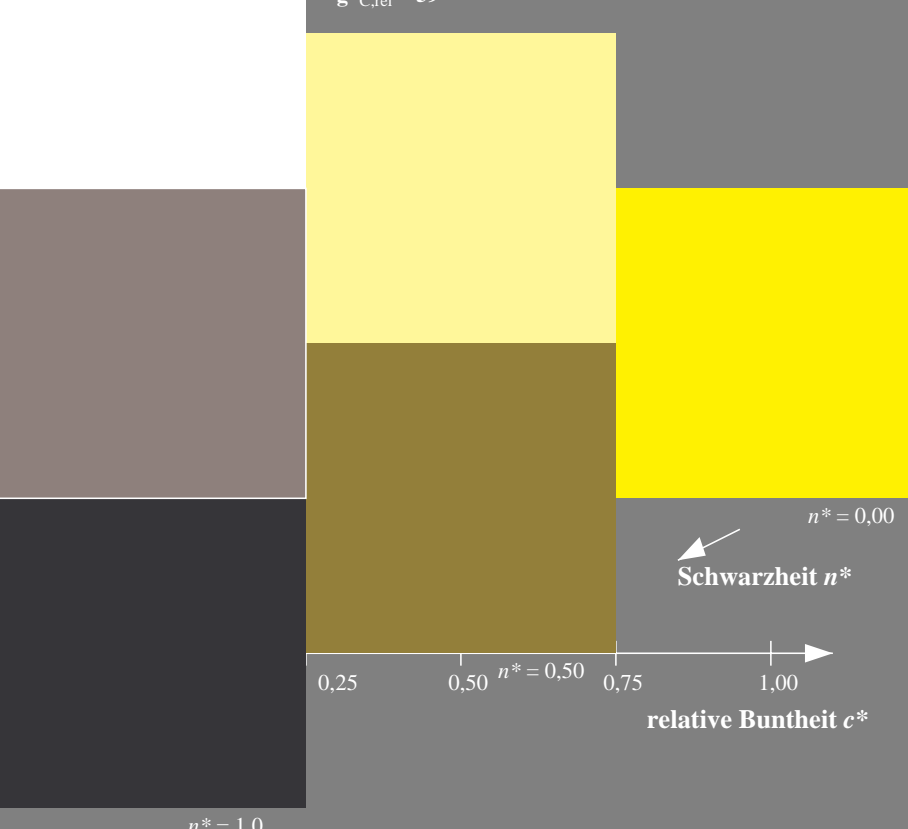
$u^*_{rel} = 93$

%Regularität

$g^*_{H,rel} = 57$

$g^*_{C,rel} = 59$

	$L^* = L^*_a$	$a^*_{ab,a}$	$b^*_{ab,a}$	$C^*_{ab,a}$	$h^*_{ab,a}$
OMa	47.94	65.37	50.52	82.62	38
YMa	90.37	-10.27	91.77	92.34	96
LMa	50.9	-62.79	34.95	71.87	151
CMa	58.62	-30.35	-45.01	54.3	236
VMa	25.71	31.11	-44.42	54.24	305
MMa	48.13	75.27	-8.35	75.73	354
NMa	18.01	0.0	0.0	0.0	0
WMa	95.41	0.0	0.0	0.0	0
RCIE	39.92	58.66	26.98	64.56	25
JCIE	81.26	-2.17	67.76	67.79	92
GCIE	52.23	-42.26	11.75	43.87	164
BCIE	30.57	1.15	-46.84	46.87	271



### Ausgabe: Farbmétrisches Reflexions-System MRS18a

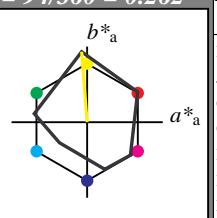
für Bunton  $h^* = lab^*h = 94/360 = 0.262$   
 $lab^*tch$  und  $lab^*nch$

D65: Bunton J

LCH\*Ma: 91 93 94

olv\*Ma: 1.0 1.0 0.0

Dreiecks-Helligkeit  $t^*$



%Umfang

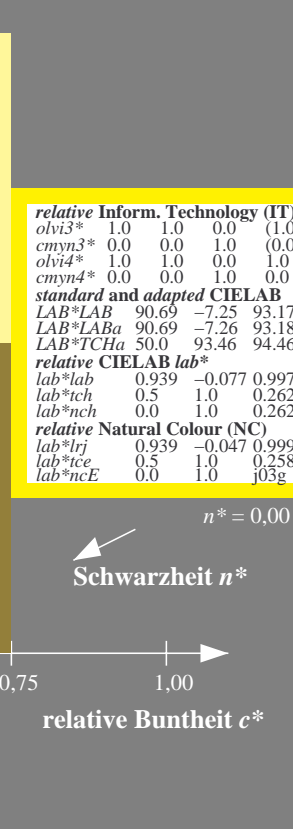
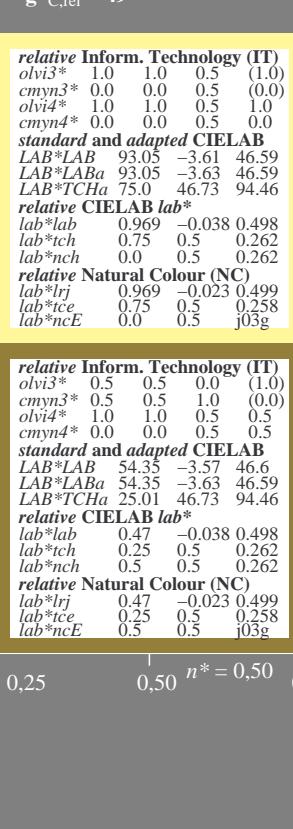
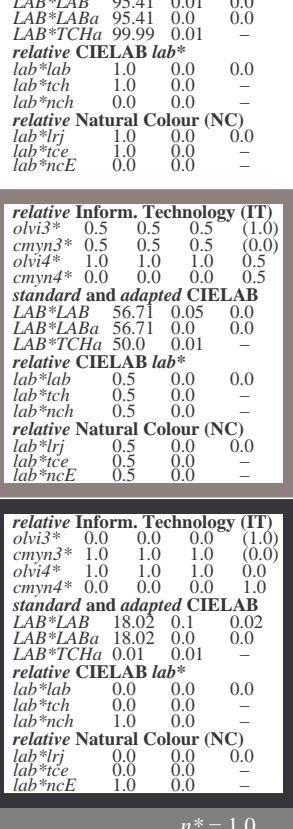
$u^*_{rel} = 92$

%Regularität

$g^*_{H,rel} = 42$

$g^*_{C,rel} = 49$

	$L^* = L^*_a$	$a^*_{ab,a}$	$b^*_{ab,a}$	$C^*_{ab,a}$	$h^*_{ab,a}$
RMa	49.63	66.8	40.02	77.87	31
JMa	90.7	-7.27	93.19	93.48	94
GMa	52.11	-69.93	11.26	70.85	171
G50BMa	45.03	-36.65	-27.13	45.61	217
BMa	36.65	23.26	-62.27	66.49	290
B50RMa	34.94	57.27	-43.6	71.99	323
NMa	18.01	0.0	0.0	0.0	0
WMa	95.41	0.0	0.0	0.0	0
RCIE	39.92	58.67	27.97	64.99	25
JCIE	81.26	-2.91	71.56	71.62	92
GCIE	52.23	-42.47	13.58	44.6	162
BCIE	30.57	1.33	-46.48	46.51	272



3stufige Reihen für konstanten CIELAB Bunton 94/360 = 0.262 (rechts)

BAM-Prüfvorlage UG01; Farbmétrik-Systeme ORS18 & MRS18 input:  $cmy0*$  setcmykcolor

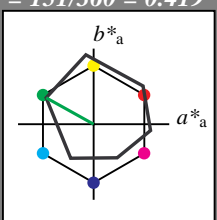
D65: 3stufige Farbreihen und Koordinaten-Daten für 10 Bunttöneoutput: no change compared to input

UG010-7, 3 stufige Reihen für konstanten CIELAB Bunton 96/360 = 0.268 (links)

BAM-Prüfvorlage UG01; Farbmétrik-Systeme ORS18 & MRS18 input:  $cmy0*$  setcmykcolor

D65: 3stufige Farbreihen und Koordinaten-Daten für 10 Bunttöneoutput: no change compared to input

## Eingabe: Farbmétrisches Reflexions-System ORS18

für Bunton  $h^* = lab^*h = 151/360 = 0.419$   
 $lab^*tch$  und  $lab^*nch$ D65: Bunton L  
LCH\*Ma: 51 72 151  
olv\*Ma: 0.0 1.0 0.0Dreiecks-Helligkeit  $t^*$ 

%Umfang

u\*<sub>rel</sub> = 93

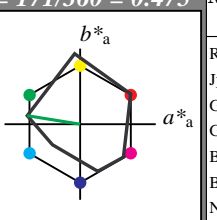
%Regularität

g\*<sub>H,rel</sub> = 57g\*<sub>C,rel</sub> = 59

## ORS18; adaptierte CIELAB-Daten

	$L^* = L^*_a$	$a^*_a$	$b^*_a$	$C^*_{ab,a}$	$h^*_{ab,a}$
OMa	47.94	65.37	50.52	82.62	38
YMa	90.37	-10.27	91.77	92.34	96
LMa	50.9	-62.79	34.95	71.87	151
CMa	58.62	-30.35	-45.01	54.3	236
VMa	25.71	31.11	-44.42	54.24	305
MMa	48.13	75.27	-8.35	75.73	354
NMa	18.01	0.0	0.0	0.0	0
WMa	95.41	0.0	0.0	0.0	0
RCIE	39.92	58.66	26.98	64.56	25
JCIE	81.26	-2.17	67.76	67.79	92
GCIE	52.23	-42.26	11.75	43.87	164
BCIE	30.57	1.15	-46.84	46.87	271

## Ausgabe: Farbmétrisches Reflexions-System MRS18a

für Bunton  $h^* = lab^*h = 171/360 = 0.475$   
 $lab^*tch$  und  $lab^*nch$ D65: Bunton G  
LCH\*Ma: 52 71 171  
olv\*Ma: 0.0 1.0 0.0Dreiecks-Helligkeit  $t^*$ 

%Umfang

u\*<sub>rel</sub> = 92

%Regularität

g\*<sub>H,rel</sub> = 42g\*<sub>C,rel</sub> = 49

## MRS18a; adaptierte CIELAB-Daten

	$L^* = L^*_a$	$a^*_a$	$b^*_a$	$C^*_{ab,a}$	$h^*_{ab,a}$
RMa	49.63	66.8	40.02	77.87	31
JMa	90.7	-7.27	93.19	93.48	94
GMa	52.11	-69.93	11.26	70.85	171
G50BMa	45.03	-36.65	-27.13	45.61	217
BMa	36.65	23.26	-62.27	66.49	290
B50RMa	34.94	57.27	-43.6	71.99	323
NMa	18.01	0.0	0.0	0.0	0
WMa	95.41	0.0	0.0	0.0	0
RCIE	39.92	58.67	27.97	64.99	25
JCIE	81.26	-2.91	71.56	71.62	92
GCIE	52.23	-42.47	13.58	44.6	162
BCIE	30.57	1.33	-46.48	46.51	272

UG010-7, 3 stufige Reihen für konstanten CIELAB Bunton 151/360 = 0.419 (links)

BAM-Prüfvorlage UG01; Farbmétrik-Systeme ORS18 &amp; MRS18 input: cmy0\* setcmykcolor

D65: 3stufige Farbreihen und Koordinaten-Daten für 10 Bunttöneoutput: no change compared to input

C

M

Y

O

L

V

C



BAM-Registrierung: 20060101-UG01/10S/S01G03NP.PS/.PDF BAM-Material: Code=rha4ta  
Anwendung für Beurteilung und Messung von Drucker- oder Monitorsystemen

/UG01/ Form: 4/1, Seite: 1/1, Seite: 4  
Seitenanzahl: 4

### Eingabe: Farbmétrisches Reflexions-System ORS18

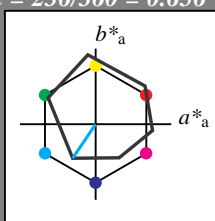
für Bunton  $h^* = lab^*h = 236/360 = 0.656$   
 $lab^*tch$  und  $lab^*nch$

D65: Bunton C

LCH\*Ma: 59 54 236

olv\*Ma: 0.0 1.0 1.0

Dreiecks-Helligkeit  $t^*$



%Umfang

$u^*_{rel} = 93$

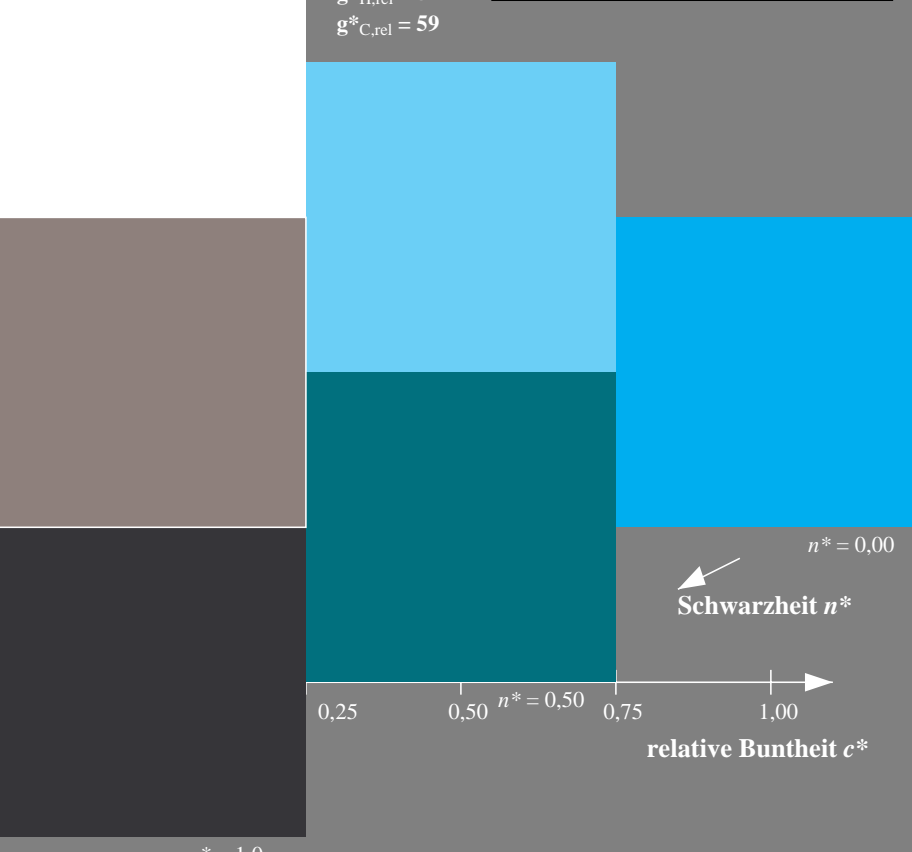
%Regularität

$g^*_{H,rel} = 57$

$g^*_{C,rel} = 59$

### ORS18; adaptierte CIELAB-Daten

	$L^* = L^*_{a,a}$	$a^*_{a,a}$	$b^*_{a,a}$	$C^*_{ab,a}$	$h^*_{ab,a}$
OMa	47.94	65.37	50.52	82.62	38
YMa	90.37	-10.27	91.77	92.34	96
LMa	50.9	-62.79	34.95	71.87	151
CMa	58.62	-30.35	-45.01	54.3	236
VMa	25.71	31.11	-44.42	54.24	305
MMa	48.13	75.27	-8.35	75.73	354
NMa	18.01	0.0	0.0	0.0	0
WMa	95.41	0.0	0.0	0.0	0
RCIE	39.92	58.66	26.98	64.56	25
JCIE	81.26	-2.17	67.76	67.79	92
GCIE	52.23	-42.26	11.75	43.87	164
BCIE	30.57	1.15	-46.84	46.87	271



UG010-7, 3stufige Reihen für konstanten CIELAB Bunton 236/360 = 0.656 (links)

BAM-Prüfvorlage UG01; Farbmétrik-Systeme ORS18 & MRS18  
Input: cmy0\* setcmykcolor  
D65: 3stufige Farbreihen und Koordinaten-Daten für 10 Bunttöneoutput: no change compared to input

### Ausgabe: Farbmétrisches Reflexions-System MRS18a

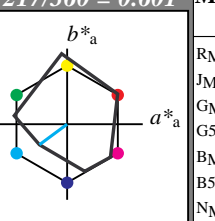
für Bunton  $h^* = lab^*h = 217/360 = 0.601$   
 $lab^*tch$  und  $lab^*nch$

D65: Bunton G50B

LCH\*Ma: 45 46 217

olv\*Ma: 0.0 1.0 1.0

Dreiecks-Helligkeit  $t^*$



%Umfang

$u^*_{rel} = 92$

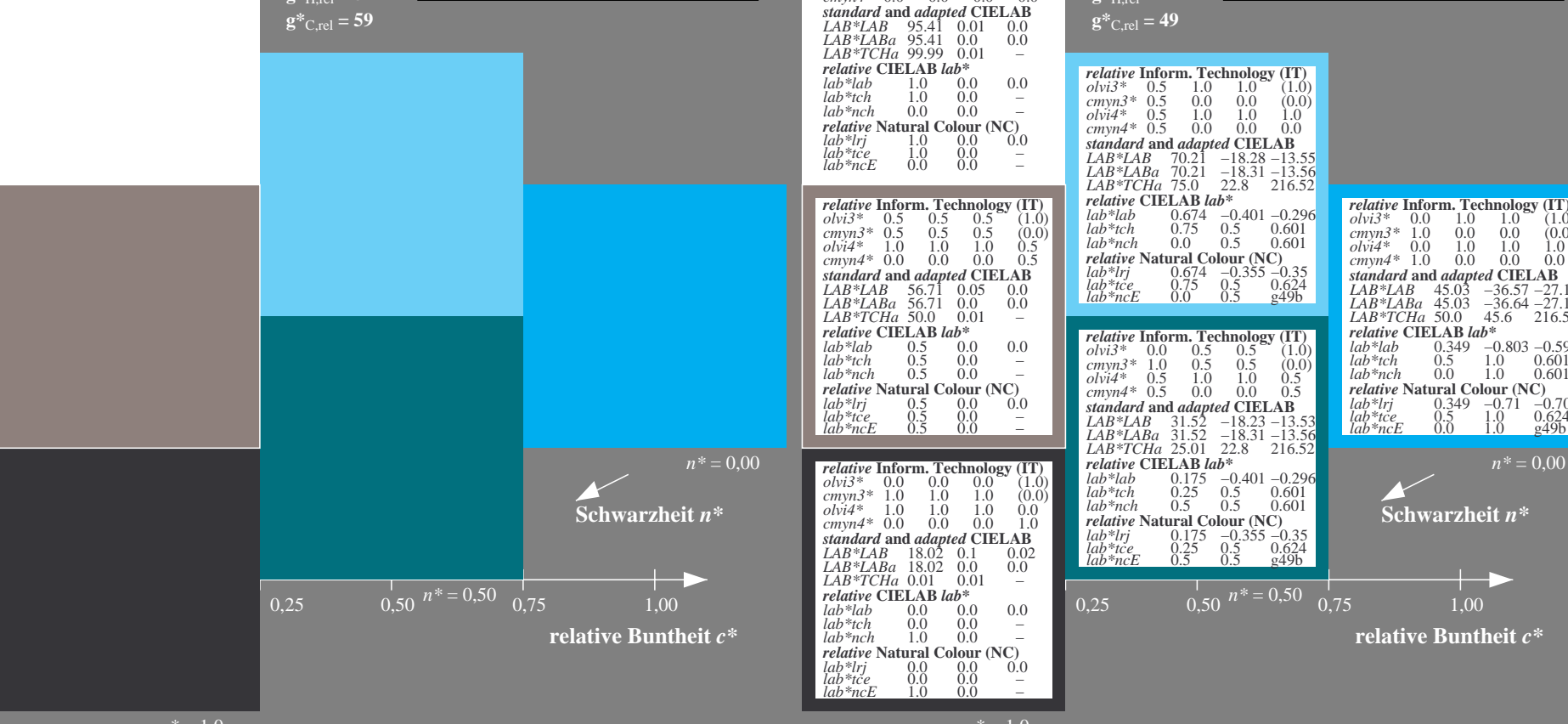
%Regularität

$g^*_{H,rel} = 42$

$g^*_{C,rel} = 49$

### MRS18a; adaptierte CIELAB-Daten

	$L^* = L^*_{a,a}$	$a^*_{a,a}$	$b^*_{a,a}$	$C^*_{ab,a}$	$h^*_{ab,a}$
RMa	49.63	66.8	40.02	77.87	31
JMa	90.7	-7.27	93.19	93.48	94
GMa	52.11	-69.93	11.26	70.85	171
G50BMa	45.03	-36.65	-27.13	45.61	217
BMa	36.65	23.26	-62.27	66.49	290
B50RMa	34.94	57.27	-43.6	71.99	323
NMa	18.01	0.0	0.0	0.0	0
WMa	95.41	0.0	0.0	0.0	0
RCIE	39.92	58.67	27.97	64.99	25
JCIE	81.26	-2.91	71.56	71.62	92
GCIE	52.23	-42.47	13.58	44.6	162
BCIE	30.57	1.33	-46.48	46.51	272



3 stufige Reihen für konstanten CIELAB Bunton 217/360 = 0.601 (rechts)

BAM-Prüfvorlage UG01; Farbmétrik-Systeme ORS18 & MRS18  
Input: cmy0\* setcmykcolor  
D65: 3stufige Farbreihen und Koordinaten-Daten für 10 Bunttöneoutput: no change compared to input

Eingabe: Farbmétrisches Reflexions-System ORS18

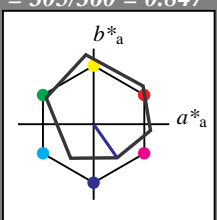
für Bunton  $h^* = lab^*h = 305/360 = 0.847$   
 $lab^*tch$  und  $lab^*nch$

D65: Bunton V

LCH\*Ma: 26 54 305

olv\*Ma: 0.0 0.0 1.0

Dreiecks-Helligkeit  $t^*$



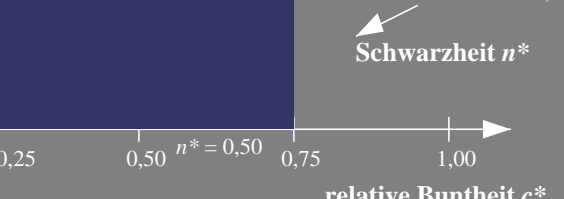
%Umfang

$u^*_{rel} = 93$

%Regularität

$g^*_{H,rel} = 57$

$g^*_{C,rel} = 59$



$n^* = 1,0$

Ausgabe: Farbmétrisches Reflexions-System MRS18a

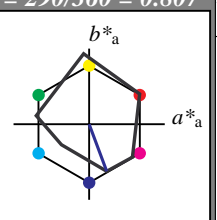
für Bunton  $h^* = lab^*h = 290/360 = 0.807$   
 $lab^*tch$  und  $lab^*nch$

D65: Bunton B

LCH\*Ma: 37 66 290

olv\*Ma: 0.0 0.0 1.0

Dreiecks-Helligkeit  $t^*$



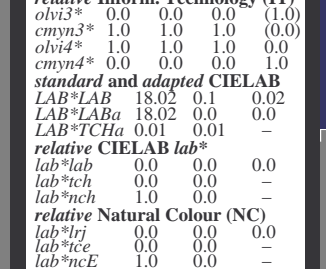
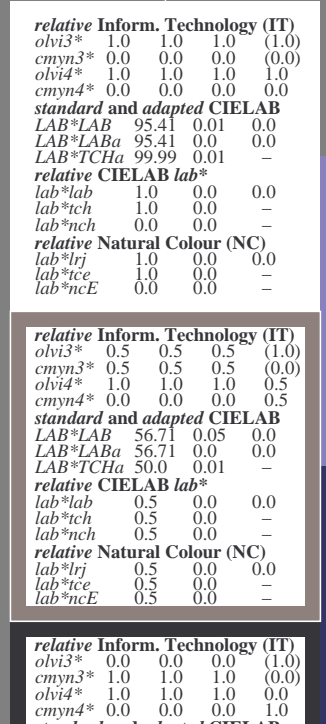
%Umfang

$u^*_{rel} = 92$

%Regularität

$g^*_{H,rel} = 42$

$g^*_{C,rel} = 49$



$n^* = 1,0$

MRS18a; adaptierte CIELAB-Daten

$L^* = L^*_{ab,a}$   $a^*_{ab,a}$   $b^*_{ab,a}$   $C^*_{ab,a}$   $h^*_{ab,a}$

	$L^* = L^*_{ab,a}$	$a^*_{ab,a}$	$b^*_{ab,a}$	$C^*_{ab,a}$	$h^*_{ab,a}$
OMa	47.94	65.37	50.52	82.62	38
YMa	90.37	-10.27	91.77	92.34	96
LMa	50.9	-62.79	34.95	71.87	151
CMa	58.62	-30.35	-45.01	54.3	236
VMa	25.71	31.11	-44.42	54.24	305
MMa	48.13	75.27	-8.35	75.73	354
NMa	18.01	0.0	0.0	0.0	0
WMa	95.41	0.0	0.0	0.0	0
RCIE	39.92	58.66	26.98	64.56	25
JCIE	81.26	-2.17	67.76	67.79	92
GCIE	52.23	-42.26	11.75	43.87	164
BCIE	30.57	1.15	-46.84	46.87	271

	$L^* = L^*_{ab,a}$	$a^*_{ab,a}$	$b^*_{ab,a}$	$C^*_{ab,a}$	$h^*_{ab,a}$
RMa	49.63	66.8	40.02	77.87	31
JMa	90.7	-7.27	93.19	93.48	94
GMa	52.11	-69.93	11.26	70.85	171
G50BMa	45.03	-36.65	-27.13	45.61	217
BMa	36.65	23.26	-62.27	66.49	290
B50RMa	34.94	57.27	-43.6	71.99	323
NMa	18.01	0.0	0.0	0.0	0
WMa	95.41	0.0	0.0	0.0	0
RCIE	39.92	58.67	27.97	64.99	25
JCIE	81.26	-2.91	71.56	71.62	92
GCIE	52.23	-42.47	13.58	44.6	162
BCIE	30.57	1.33	-46.48	46.51	272

	$L^* = L^*_{ab,a}$	$a^*_{ab,a}$	$b^*_{ab,a}$	$C^*_{ab,a}$	$h^*_{ab,a}$
olvi3*	0.5	0.5	1.0	(1.0)	
cmyn3*	0.5	0.5	0.0	(0.0)	
olvi4*	0.5	0.5	1.0	1.0	
cmyn4*	0.0	0.0	0.0	0.0	
standard and adapted CIELAB					
LAB*LAB	95.41	0.01	0.0		
LAB*LABa	95.41	0.0	0.0		
LAB*TCHA	99.99	0.01	-		
relative CIELAB lab*					
lab*lab	1.0	0.0	0.0		
lab*tch	1.0	0.0	-		
lab*nch	0.0	0.0	-		
relative Natural Colour (NC)					
lab*lrj	1.0	0.0	0.0		
lab*tce	1.0	0.0	-		
lab*ncE	0.0	0.0	-		

	$L^* = L^*_{ab,a}$	$a^*_{ab,a}$	$b^*_{ab,a}$	$C^*_{ab,a}$	$h^*_{ab,a}$
olvi3*	0.5	0.5	1.0	(1.0)	
cmyn3*	0.5	0.5	0.0	(0.0)	
olvi4*	0.0	0.0	1.0	1.0	
cmyn4*	1.0	1.0	0.0	0.0	
standard and adapted CIELAB					
LAB*LAB	66.03	11.67	-31.12		
LAB*LABa	66.03	11.63	-31.13		
LAB*TCHA	75.0	33.24	290.48		
relative CIELAB lab*					
lab*lab	0.62	0.175	-0.467		
lab*tch	0.75	0.5	0.807		
lab*nch	0.0	0.5	0.807		
relative Natural Colour (NC)					
lab*lrj	0.62	0.128	-0.482		
lab*tce	0.75	0.5	0.791		
lab*ncE	0.0	0.5	b16r		

	$L^* = L^*_{ab,a}$	$a^*_{ab,a}$	$b^*_{ab,a}$	$C^*_{ab,a}$	$h^*_{ab,a}$
olvi3*	0.0	0.0	0.5	(1.0)	
cmyn3*	1.0	1.0	1.0	(0.0)	
olvi4*	0.5	0.5	1.0	0.5	
cmyn4*	0.5	0.5	0.0	0.5	
standard and adapted CIELAB					
LAB*LAB	36.65	23.33	-62.24		
LAB*LABa	36.65	23.25	-62.26		
LAB*TCHA	50.0	66.47	290.48		
relative CIELAB lab*					
lab*lab	0.241	0.35	-0.936		
lab*tch	0.5	1.0	0.807		
lab*nch	0.0	1.0	0.807		
relative Natural Colour (NC)					
lab*lrj	0.241	0.257	-0.965		
lab*tce	0.5	1.0	0.791		
lab*ncE	0.0	1.0	b16r		

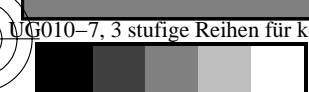
$n^* = 0,00$

Schwarzheit  $n^*$

$relative\ Buntheit\ c^*$

0,25 0,50  $n^* = 0,50$  0,75 1,00

$n^* = 1,0$



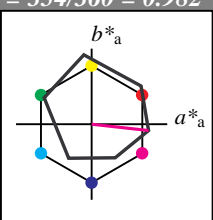
## Eingabe: Farbmétrisches Reflexions-System ORS18

für Bunton  $h^* = lab^*h = 354/360 = 0.982$   
 $lab^*tch$  und  $lab^*nch$ 

D65: Bunton M

LCH\*Ma: 48 76 354

olv\*Ma: 1.0 0.0 1.0

Dreiecks-Helligkeit  $t^*$ 

%Umfang

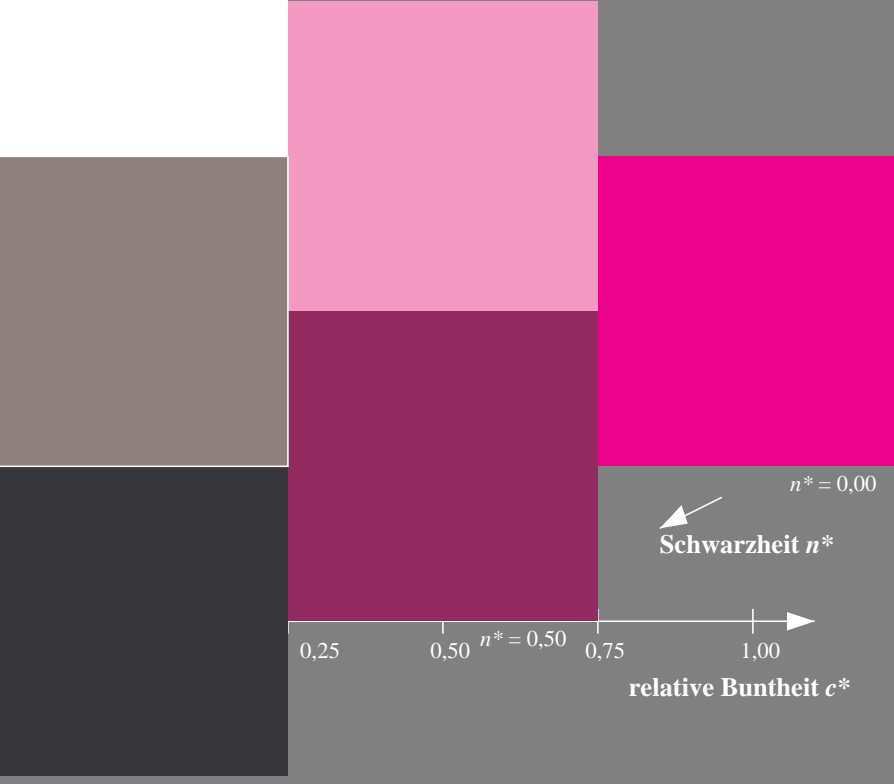
 $u^*_{rel} = 93$ 

%Regularität

 $g^*_{H,rel} = 57$  $g^*_{C,rel} = 59$ 

## ORS18; adaptierte CIELAB-Daten

	$L^* = L^*_{a,a}$	$a^*_{a,a}$	$b^*_{a,a}$	$C^*_{ab,a}$	$h^*_{ab,a}$
OMa	47.94	65.37	50.52	82.62	38
YMa	90.37	-10.27	91.77	92.34	96
LMa	50.9	-62.79	34.95	71.87	151
CMa	58.62	-30.35	-45.01	54.3	236
VMa	25.71	31.11	-44.42	54.24	305
MMa	48.13	75.27	-8.35	75.73	354
NMa	18.01	0.0	0.0	0.0	0
WMa	95.41	0.0	0.0	0.0	0
RCIE	39.92	58.66	26.98	64.56	25
JCIE	81.26	-2.17	67.76	67.79	92
GCIE	52.23	-42.26	11.75	43.87	164
BCIE	30.57	1.15	-46.84	46.87	271



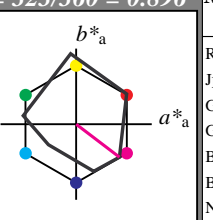
## Ausgabe: Farbmétrisches Reflexions-System MRS18a

für Bunton  $h^* = lab^*h = 323/360 = 0.896$  $lab^*tch$  und  $lab^*nch$ 

D65: Bunton B50R

LCH\*Ma: 35 72 323

olv\*Ma: 1.0 0.0 1.0

Dreiecks-Helligkeit  $t^*$ 

%Umfang

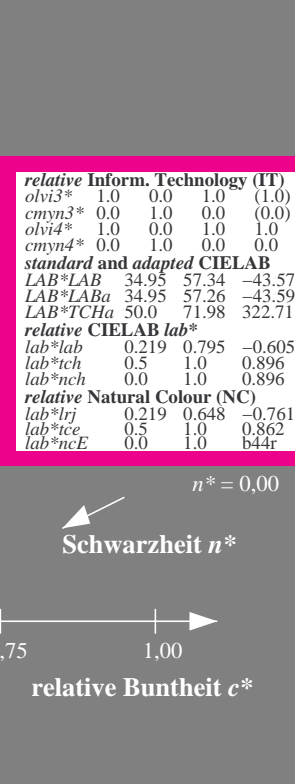
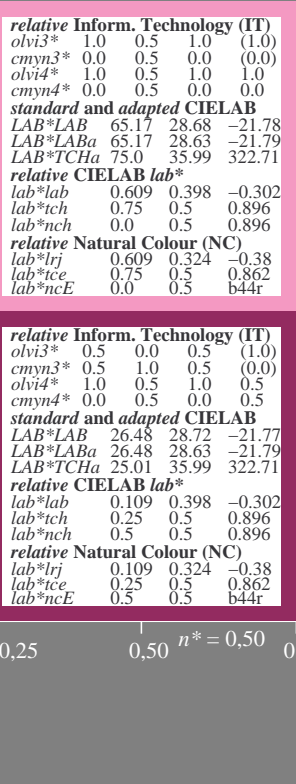
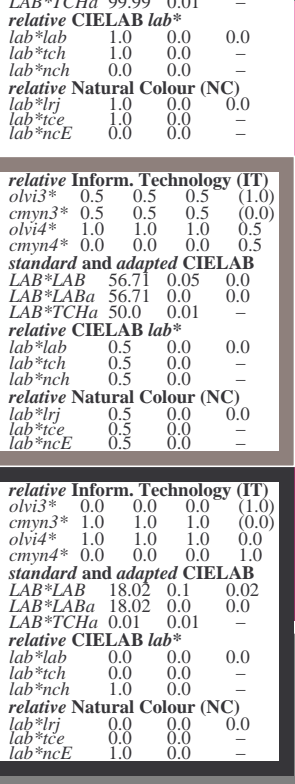
 $u^*_{rel} = 92$ 

%Regularität

 $g^*_{H,rel} = 42$  $g^*_{C,rel} = 49$ 

## MRS18a; adaptierte CIELAB-Daten

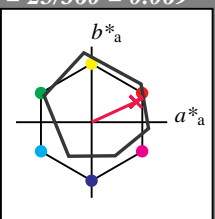
	$L^* = L^*_{a,a}$	$a^*_{a,a}$	$b^*_{a,a}$	$C^*_{ab,a}$	$h^*_{ab,a}$
RMa	49.63	66.8	40.02	77.87	31
JMa	90.7	-7.27	93.19	93.48	94
GMa	52.11	-69.93	11.26	70.85	171
G50BMa	45.03	-36.65	-27.13	45.61	217
BMa	36.65	23.26	-62.27	66.49	290
B50RMa	34.94	57.27	-43.6	71.99	323
NMa	18.01	0.0	0.0	0.0	0
WMa	95.41	0.0	0.0	0.0	0
RCIE	39.92	58.67	27.97	64.99	25
JCIE	81.26	-2.91	71.56	71.62	92
GCIE	52.23	-42.47	13.58	44.6	162
BCIE	30.57	1.33	-46.48	46.51	272



3stufige Reihen für konstanten CIELAB Bunton 323/360 = 0,896 (rechts)

UG010-7, 3 stufige Reihen für konstanten CIELAB Bunton 354/360 = 0,982 (links)

BAM-Prüfvorlage UG01; Farbmétrik-Systeme ORS18 & MRS18  
Input: cmy0\* setcmykcolor  
D65: 3stufige Farbreihen und Koordinaten-Daten für 10 Bunttöne  
Output: no change compared to input

Siehe ähnliche Dateien: <http://www.ps.bam.de/UG01/>  
Technische Information: <http://www.ps.bam.de> Version 2.1, io=0**Eingabe:** Farbmétrisches Reflexions-System ORS18für Bunton  $h^* = lab^*h = 25/360 = 0.069$   
 $lab^*tch$  und  $lab^*nch$ **D65:** Bunton R

LCH\*Ma: 48 75 25

olv\*Ma: 1.0 0.0 0.32

Dreiecks-Helligkeit  $t^*$ 

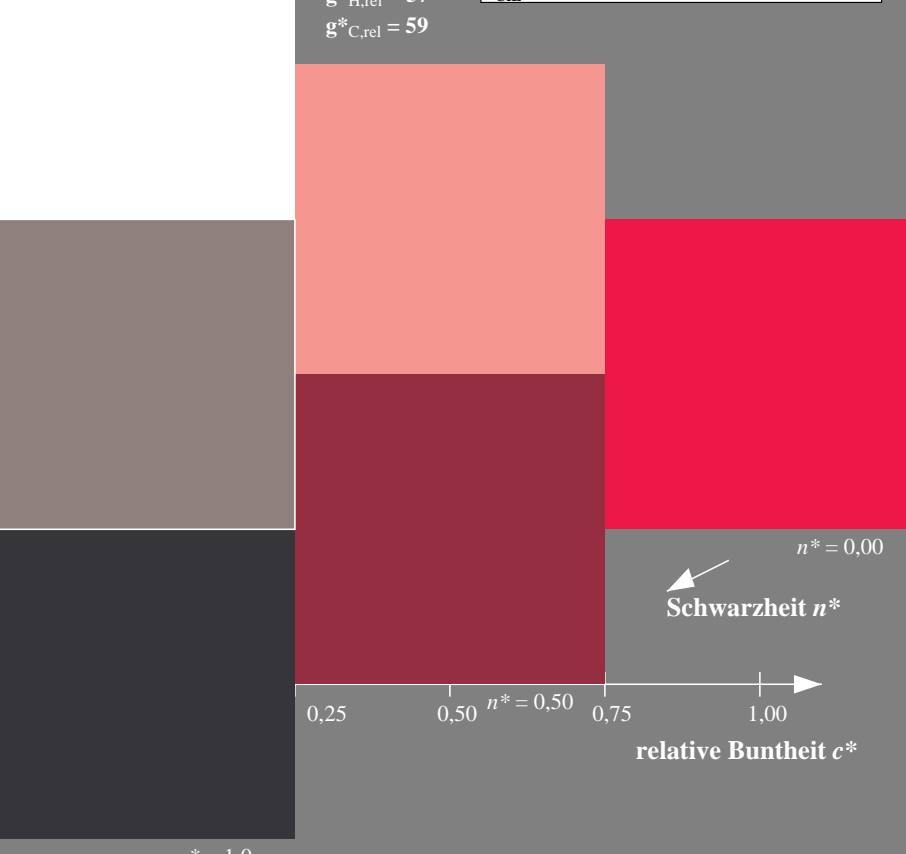
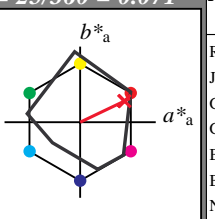
%Umfang

u\*<sub>rel</sub> = 93

%Regularität

g\*<sub>H,rel</sub> = 57g\*<sub>C,rel</sub> = 59**ORS18; adaptierte CIELAB-Daten**

	$L^* = L^*_a$	$a^*_a$	$b^*_a$	$C^*_{ab,a}$	$h^*_{ab,a}$
OMa	47.94	65.37	50.52	82.62	38
YMa	90.37	-10.27	91.77	92.34	96
LMa	50.9	-62.79	34.95	71.87	151
CMa	58.62	-30.35	-45.01	54.3	236
VMa	25.71	31.11	-44.42	54.24	305
MMa	48.13	75.27	-8.35	75.73	354
NMa	18.01	0.0	0.0	0.0	0
WMa	95.41	0.0	0.0	0.0	0
RCIE	39.92	58.66	26.98	64.56	25
JCIE	81.26	-2.17	67.76	67.79	92
GCIE	52.23	-42.26	11.75	43.87	164
BCIE	30.57	1.15	-46.84	46.87	271

**Ausgabe:** Farbmétrisches Reflexions-System MRS18afür Bunton  $h^* = lab^*h = 25/360 = 0.071$   
 $lab^*tch$  und  $lab^*nch$ **D65:** Bunton R

LCH\*Ma: 48 73 25

olv\*Ma: 1.0 0.0 0.1

Dreiecks-Helligkeit  $t^*$ 

%Umfang

u\*<sub>rel</sub> = 92

%Regularität

g\*<sub>H,rel</sub> = 42g\*<sub>C,rel</sub> = 49

**relative Inform. Technology (IT)**  
 $olvi3^*$ : 1.0 1.0 1.0 (1.0)  
 $cmyn3^*$ : 0.0 0.0 0.0 (0.0)  
 $olvi4^*$ : 1.0 1.0 1.0 1.0  
 $cmyn4^*$ : 0.0 0.0 0.0 0.0  
**standard and adapted CIELAB**  
 $LAB^*LAB$ : 95.41 0.01 0.0  
 $LAB^*LABa$ : 95.41 0.0 0.0  
 $LAB^*TChA$ : 99.99 0.01 -

**relative CIELAB lab\***  
 $lab^*lab$ : 1.0 0.0 0.0  
 $lab^*tch$ : 1.0 0.0 -  
 $lab^*nch$ : 0.0 0.0 -  
**relative Natural Colour (NC)**  
 $lab^*lrj$ : 1.0 0.0 0.0  
 $lab^*ice$ : 1.0 0.0 -  
 $lab^*ncE$ : 0.0 0.0 -

**relative Inform. Technology (IT)**  
 $olvi3^*$ : 0.5 0.5 0.5 (1.0)  
 $cmyn3^*$ : 0.5 0.5 0.5 (0.0)  
 $olvi4^*$ : 1.0 1.0 1.0 0.5  
 $cmyn4^*$ : 0.0 0.0 0.0 0.5  
**standard and adapted CIELAB**  
 $LAB^*LAB$ : 56.71 0.05 0.0  
 $LAB^*LABa$ : 56.71 0.0 0.0  
 $LAB^*TChA$ : 50.0 0.01 -  
**relative CIELAB lab\***  
 $lab^*lab$ : 0.5 0.0 0.0  
 $lab^*tch$ : 0.5 0.0 -  
 $lab^*nch$ : 0.5 0.0 -  
**relative Natural Colour (NC)**  
 $lab^*lrj$ : 0.5 0.0 0.0  
 $lab^*ice$ : 0.5 0.0 -  
 $lab^*ncE$ : 0.5 0.0 -

**relative Inform. Technology (IT)**  
 $olvi3^*$ : 0.0 0.0 0.0 (1.0)  
 $cmyn3^*$ : 1.0 1.0 1.0 (0.0)  
 $olvi4^*$ : 1.0 1.0 1.0 0.0  
 $cmyn4^*$ : 0.0 0.0 0.0 1.0  
**standard and adapted CIELAB**  
 $LAB^*LAB$ : 18.02 0.1 0.02  
 $LAB^*LABa$ : 18.02 0.0 0.0  
 $LAB^*TChA$ : 0.01 0.01 -  
**relative CIELAB lab\***  
 $lab^*lab$ : 0.0 0.0 0.0  
 $lab^*tch$ : 0.0 0.0 -  
 $lab^*nch$ : 1.0 0.0 -  
**relative Natural Colour (NC)**  
 $lab^*lrj$ : 0.0 0.0 0.0  
 $lab^*ice$ : 0.0 0.0 -  
 $lab^*ncE$ : 1.0 0.0 -

$n^* = 1,0$

**MRS18a; adaptierte CIELAB-Daten**

	$L^* = L^*_a$	$a^*_a$	$b^*_a$	$C^*_{ab,a}$	$h^*_{ab,a}$
RMa	49.63	66.8	40.02	77.87	31
JMa	90.7	-7.27	93.19	93.48	94
GMa	52.11	-69.93	11.26	70.85	171
G50BMa	45.03	-36.65	-27.13	45.61	217
BMa	36.65	23.26	-62.27	66.49	290
B50RMa	34.94	57.27	-43.6	71.99	323
NMa	18.01	0.0	0.0	0.0	0
WMa	95.41	0.0	0.0	0.0	0
RCIE	39.92	58.67	27.97	64.99	25
JCIE	81.26	-2.91	71.56	71.62	92
GCIE	52.23	-42.26	13.58	44.6	162
BCIE	30.57	1.33	-46.48	46.51	272

**relative Inform. Technology (IT)**  
 $olvi3^*$ : 1.0 0.5 0.52 (1.0)  
 $cmyn3^*$ : 0.0 0.5 0.448 (0.0)  
 $olvi4^*$ : 1.0 0.5 0.552 1.0  
 $cmyn4^*$ : 0.0 0.5 0.448 0.0  
**standard and adapted CIELAB**  
 $LAB^*LAB$ : 71.76 32.94 15.69  
 $LAB^*LABa$ : 71.76 32.9 15.68  
 $LAB^*TChA$ : 75.0 36.45 25.49  
**relative CIELAB lab\***  
 $lab^*lab$ : 0.694 0.451 0.215  
 $lab^*tch$ : 0.75 0.5 0.071  
 $lab^*nch$ : 0.0 0.5 0.071  
**relative Natural Colour (NC)**  
 $lab^*lrj$ : 0.694 0.5 0.0  
 $lab^*ice$ : 0.75 0.5 1.0  
 $lab^*ncE$ : 0.0 0.5 b99r

**relative Inform. Technology (IT)**  
 $olvi3^*$ : 0.5 0.0 0.052 (1.0)  
 $cmyn3^*$ : 0.5 1.0 0.948 (0.0)  
 $olvi4^*$ : 1.0 0.5 0.552 0.5  
 $cmyn4^*$ : 0.0 0.5 0.448 0.5  
**standard and adapted CIELAB**  
 $LAB^*LAB$ : 33.07 32.98 15.72  
 $LAB^*LABa$ : 33.07 32.9 15.69  
 $LAB^*TChA$ : 25.01 36.45 25.5  
**relative CIELAB lab\***  
 $lab^*lab$ : 0.195 0.451 0.215  
 $lab^*tch$ : 0.25 0.5 0.071  
 $lab^*nch$ : 0.5 0.5 0.071  
**relative Natural Colour (NC)**  
 $lab^*lrj$ : 0.195 0.5 0.0  
 $lab^*ice$ : 0.25 0.5 0.0  
 $lab^*ncE$ : 0.5 0.5 r00j

$n^* = 1,0$

$n^* = 0,00$

Schwarzheit  $n^*$

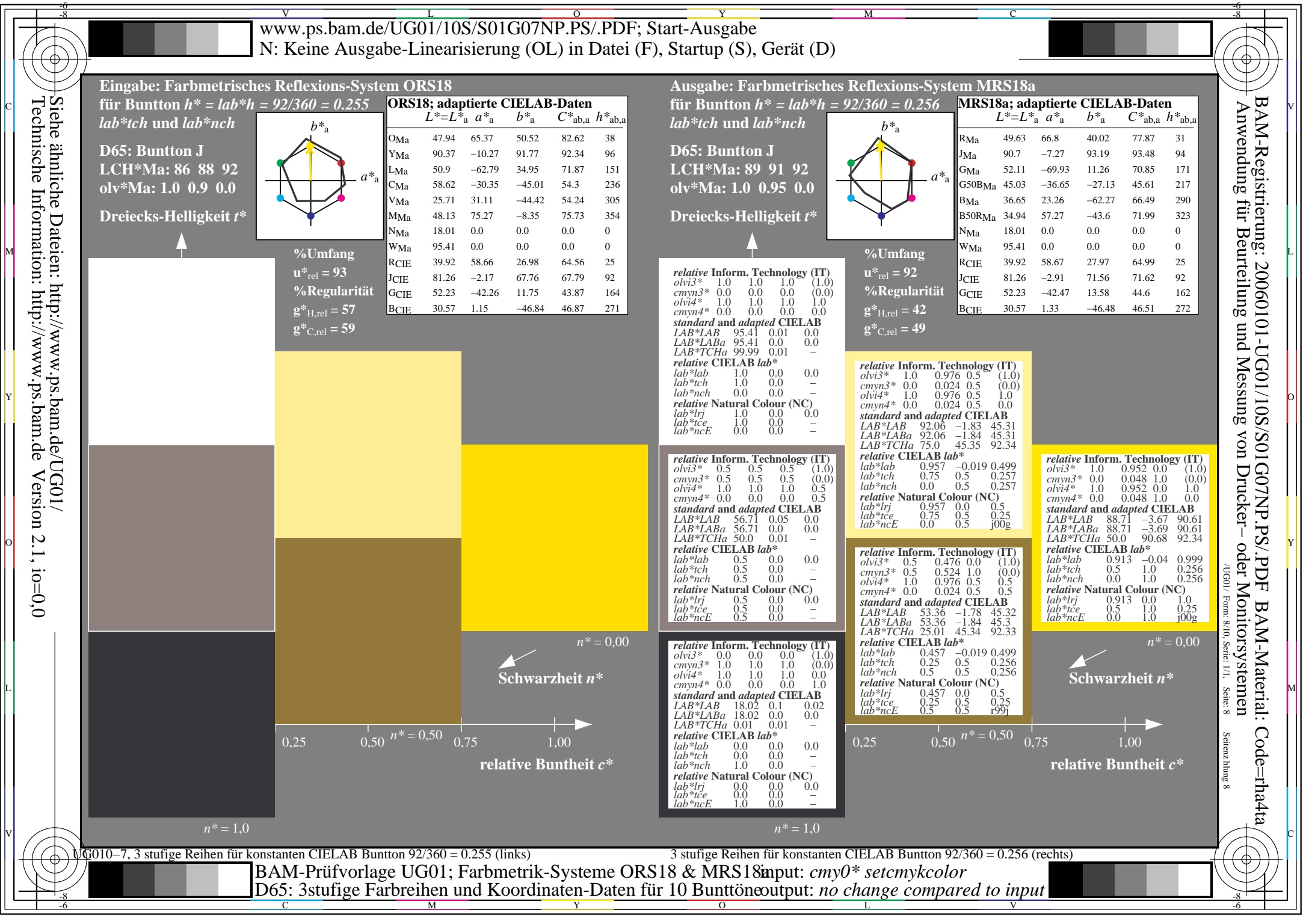
$n^* = 0,50$

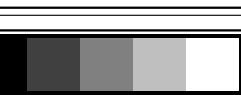
relative Buntheit  $c^*$

UG010-7, 3 stufige Reihen für konstanten CIELAB Bunton 25/360 = 0.069 (links)

3 stufige Reihen für konstanten CIELAB Bunton 25/360 = 0.071 (rechts)

BAM-Prüfvorlage UG01; Farbmétrik-Systeme ORS18 & MRS18input: cmy0\* setcmykcolorD65: 3stufige Farbreihen und Koordinaten-Daten für 10 Bunttöneoutput: no change compared to input





### Eingabe: Farbmétrisches Reflexions-System ORS18

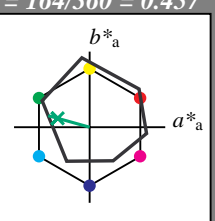
für Bunton  $h^* = lab^*h = 164/360 = 0.457$   
 $lab^*tch$  und  $lab^*nch$

D65: Bunton G

LCH<sup>\*</sup>Ma: 53 57 164

olv<sup>\*</sup>Ma: 0.0 1.0 0.25

Dreiecks-Helligkeit  $t^*$



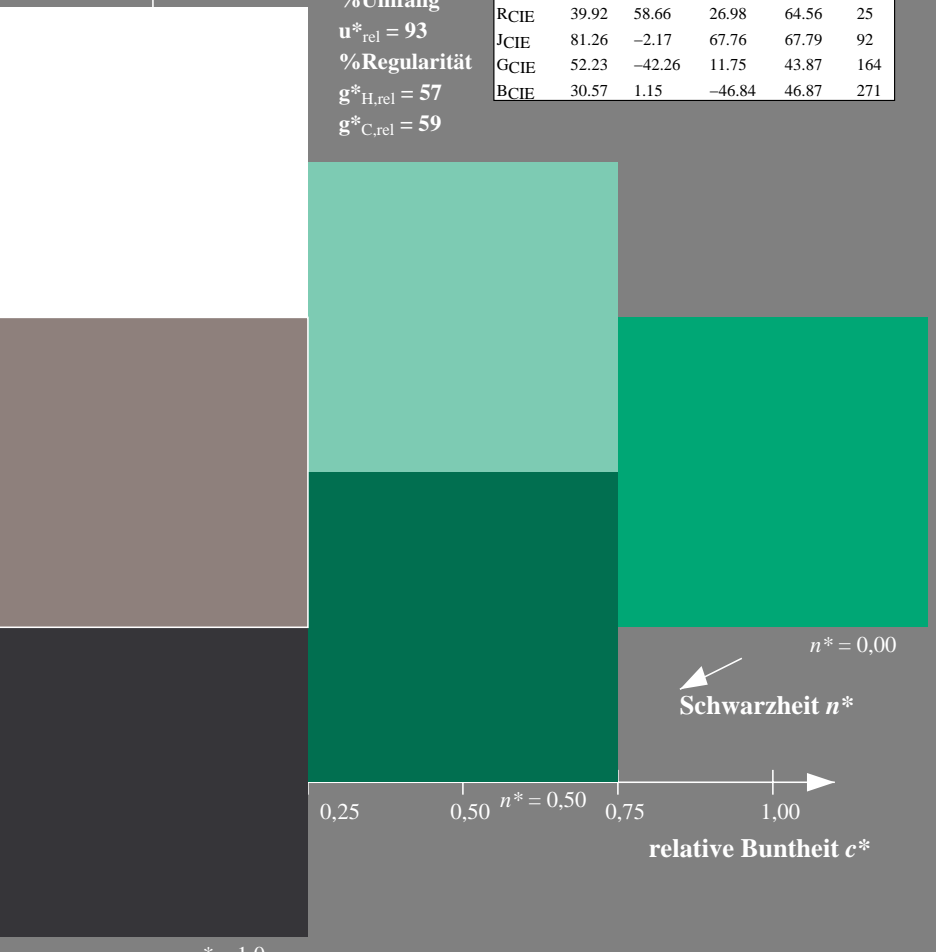
%Umfang

$u^*_{rel} = 93$

%Regularität

$g^*_{H,rel} = 57$

$g^*_{C,rel} = 59$



### Ausgabe: Farbmétrisches Reflexions-System MRS18a

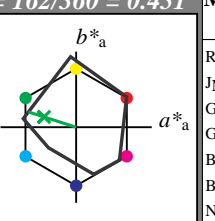
für Bunton  $h^* = lab^*h = 162/360 = 0.451$   
 $lab^*tch$  und  $lab^*nch$

D65: Bunton G

LCH<sup>\*</sup>Ma: 56 66 162

olv<sup>\*</sup>Ma: 0.11 1.0 0.0

Dreiecks-Helligkeit  $t^*$



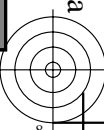
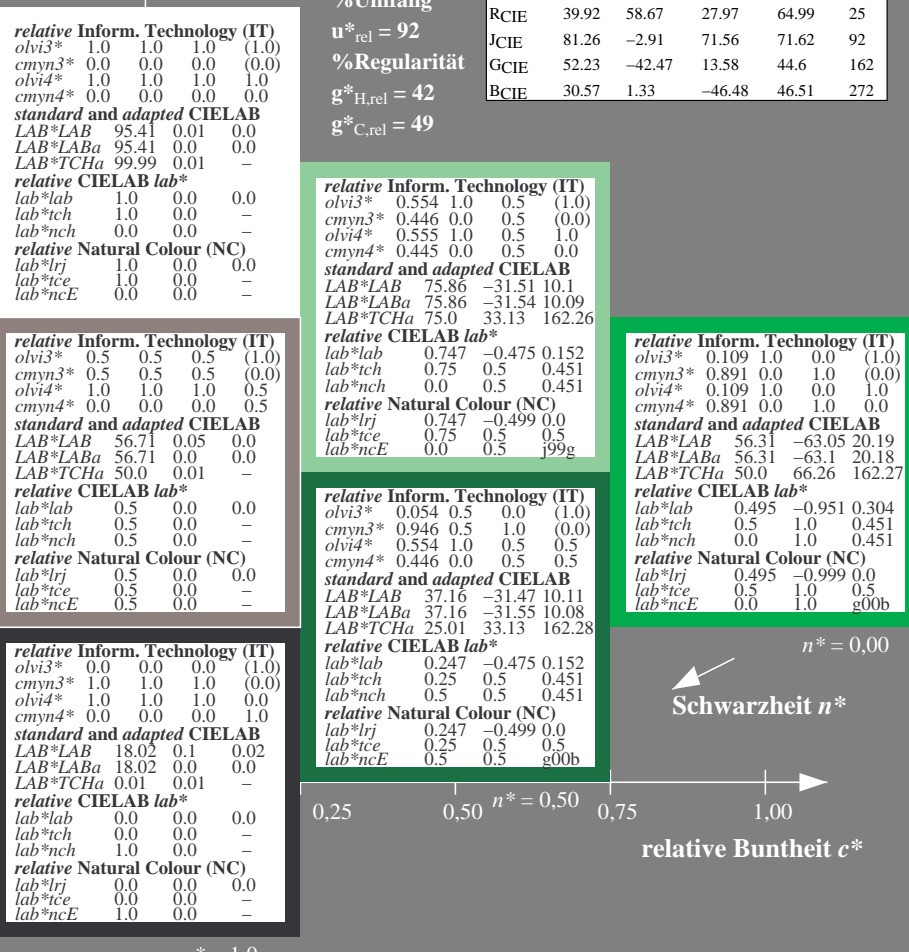
%Umfang

$u^*_{rel} = 92$

%Regularität

$g^*_{H,rel} = 42$

$g^*_{C,rel} = 49$



c

Siehe ähnliche Dateien: <http://www.ps.bam.de/UG01/>  
Technische Information: <http://www.ps.bam.de> Version 2.1, io=0.0



v  
-8  
-6

M

Y

O

L

V

### Eingabe: Farbmétrisches Reflexions-System ORS18

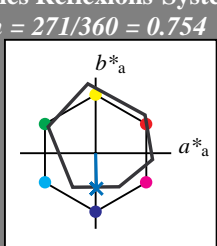
für Bunton  $h^* = lab^*h = 271/360 = 0.754$   
 $lab^*tch$  und  $lab^*nch$

D65: Bunton B

LCH\*Ma: 42 45 271

olv\*Ma: 0.0 0.49 1.0

Dreiecks-Helligkeit  $t^*$



%Umfang

$u^*_{rel} = 93$

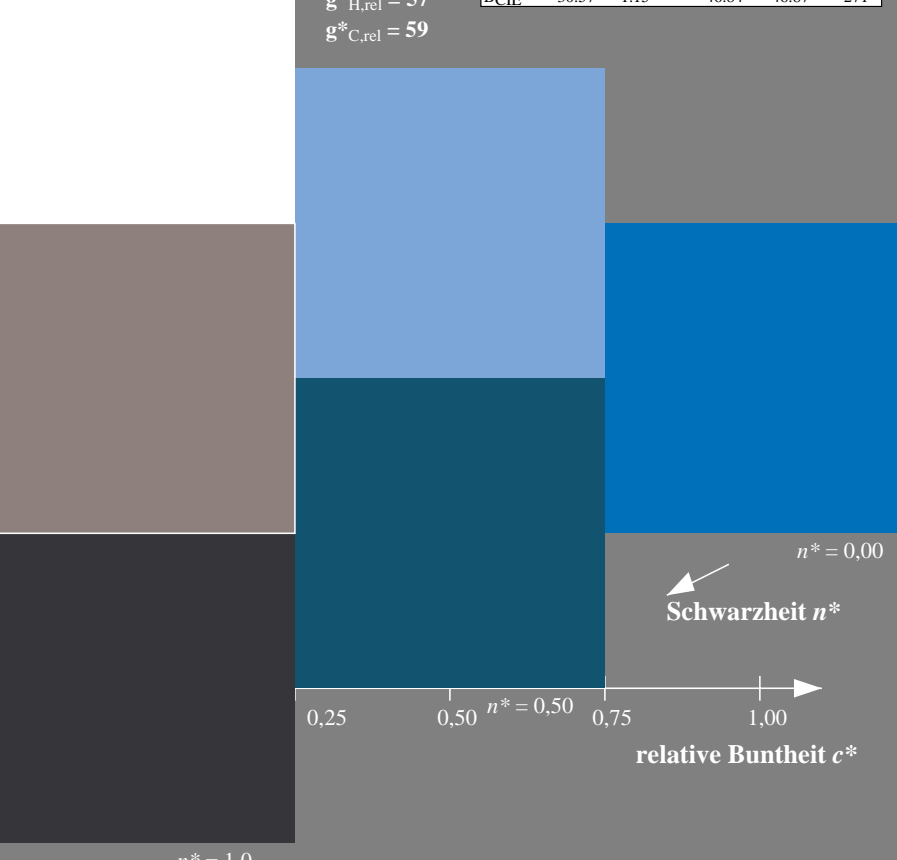
%Regularität

$g^*_{H,rel} = 57$

$g^*_{C,rel} = 59$

### ORS18; adaptierte CIELAB-Daten

	$L^* = L^*_{ab,a}$	$a^*_{ab,a}$	$b^*_{ab,a}$	$C^*_{ab,a}$	$h^*_{ab,a}$
OMa	47.94	65.37	50.52	82.62	38
YMa	90.37	-10.27	91.77	92.34	96
LMa	50.9	-62.79	34.95	71.87	151
CMa	58.62	-30.35	-45.01	54.3	236
VMa	25.71	31.11	-44.42	54.24	305
MMa	48.13	75.27	-8.35	75.73	354
NMa	18.01	0.0	0.0	0.0	0
WMa	95.41	0.0	0.0	0.0	0
RCIE	39.92	58.66	26.98	64.56	25
JCIE	81.26	-2.17	67.76	67.79	92
GCIE	52.23	-42.26	11.75	43.87	164
BCIE	30.57	1.15	-46.84	46.87	271



### Ausgabe: Farbmétrisches Reflexions-System MRS18a

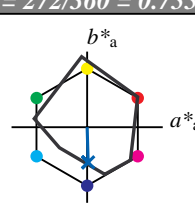
für Bunton  $h^* = lab^*h = 272/360 = 0.755$   
 $lab^*tch$  und  $lab^*nch$

D65: Bunton B

LCH\*Ma: 40 49 272

olv\*Ma: 0.0 0.36 1.0

Dreiecks-Helligkeit  $t^*$



%Umfang

$u^*_{rel} = 92$

%Regularität

$g^*_{H,rel} = 42$

$g^*_{C,rel} = 49$

### MRS18a; adaptierte CIELAB-Daten

	$L^* = L^*_{ab,a}$	$a^*_{ab,a}$	$b^*_{ab,a}$	$C^*_{ab,a}$	$h^*_{ab,a}$
RMa	49.63	66.8	40.02	77.87	31
JMa	90.7	-7.27	93.19	93.48	94
GMa	52.11	-69.93	11.26	70.85	171
B50BMa	45.03	-36.65	-27.13	45.61	217
BMa	36.65	23.26	-62.27	66.49	290
B50RMa	34.94	57.27	-43.6	71.99	323
NMa	18.01	0.0	0.0	0.0	0
WMa	95.41	0.0	0.0	0.0	0
RCIE	39.92	58.67	27.97	64.99	25
JCIE	81.26	-2.91	71.56	71.62	92
GCIE	52.23	-42.47	13.58	44.6	162
BCIE	30.57	1.33	-46.48	46.51	272

relative Inform. Technology (IT)  
olv*i3*\* 1.0 1.0 1.0 (1.0)  
cmyn*3*\* 0.0 0.0 0.0 (0.0)  
olv*i4*\* 1.0 1.0 1.0 1.0  
cmyn*4*\* 0.0 0.0 0.0 0.0

standard and adapted CIELAB  
LAB\*LAB 95.41 0.01 0.0  
LAB\*LABa 95.41 0.0 0.0  
LAB\*TChA 99.99 0.01 -

relative CIELAB lab\*  
lab\*lab 1.0 0.0 0.0  
lab\*tch 1.0 0.0 -  
lab\*nch 0.0 0.0 -  
relative Natural Colour (NC)  
lab\*lrj 1.0 0.0 0.0  
lab\*tce 1.0 0.0 -  
lab\*ncE 0.0 0.0 -

relative Inform. Technology (IT)  
olv*i3*\* 0.5 0.5 0.5 (1.0)  
cmyn*3*\* 0.5 0.5 0.5 (0.0)  
olv*i4*\* 1.0 1.0 1.0 0.5  
cmyn*4*\* 0.0 0.0 0.0 0.5

standard and adapted CIELAB  
LAB\*LAB 56.71 0.05 0.0  
LAB\*LABa 56.71 0.0 0.0  
LAB\*TChA 50.0 0.01 -

relative CIELAB lab\*  
lab\*lab 0.5 0.0 0.0  
lab\*tch 0.5 0.0 -  
lab\*nch 0.5 0.0 -  
relative Natural Colour (NC)  
lab\*lrj 0.5 0.0 0.0  
lab\*tce 0.5 0.0 -  
lab\*ncE 0.5 0.0 -

relative Inform. Technology (IT)  
olv*i3*\* 0.0 0.5 0.5 (1.0)  
cmyn*3*\* 0.0 0.5 0.5 (0.0)  
olv*i4*\* 1.0 1.0 1.0 0.5  
cmyn*4*\* 0.0 0.0 0.0 0.5

standard and adapted CIELAB  
LAB\*LAB 56.71 0.05 0.0  
LAB\*LABa 56.71 0.0 0.0  
LAB\*TChA 50.0 0.01 -

relative CIELAB lab\*  
lab\*lab 0.0 0.0 0.0  
lab\*tch 0.0 0.0 -  
lab\*nch 1.0 0.0 -  
relative Natural Colour (NC)  
lab\*lrj 0.0 0.0 0.0  
lab\*tce 0.0 0.0 -  
lab\*ncE 1.0 0.0 -

n\* = 0,00  
Schwarzheit n\*

n\* = 1,00  
relative Buntheit c\*

relative Inform. Technology (IT)  
olv*i3*\* 0.5 0.682 1.0 (1.0)  
cmyn*3*\* 0.5 0.318 0.0 (0.0)  
olv*i4*\* 0.5 0.682 1.0 1.0  
cmyn*4*\* 0.5 0.318 0.0 0.0

standard and adapted CIELAB  
LAB\*LAB 67.55 0.74 -24.71  
LAB\*LABa 67.55 0.7 -24.72  
LAB\*TChA 75.0 24.74 271.63

relative CIELAB lab\*  
lab\*lab 0.64 0.014 -0.499  
lab\*tch 0.75 0.5 0.755  
lab\*nch 0.0 0.5 0.755

relative Natural Colour (NC)  
lab\*lrj 0.64 0.0 -0.499  
lab\*tce 0.75 0.5 0.75  
lab\*ncE 0.0 0.5 g99b

relative Inform. Technology (IT)  
olv*i3*\* 0.0 0.182 0.5 (1.0)  
cmyn*3*\* 1.0 0.818 0.5 (0.0)  
olv*i4*\* 0.5 0.682 1.0 0.5  
cmyn*4*\* 0.5 0.318 0.0 0.5

standard and adapted CIELAB  
LAB\*LAB 28.86 0.79 -24.7  
LAB\*LABa 28.86 0.71 -24.72  
LAB\*TChA 25.01 24.74 271.64

relative CIELAB lab\*  
lab\*lab 0.14 0.014 -0.499  
lab\*tch 0.25 0.5 0.755  
lab\*nch 0.5 0.5 0.755

relative Natural Colour (NC)  
lab\*lrj 0.14 0.0 -0.499  
lab\*tce 0.25 0.5 0.75  
lab\*ncE 0.5 0.5 b00r

n\* = 0,00  
Schwarzheit n\*

n\* = 1,00  
relative Buntheit c\*

relative Inform. Technology (IT)  
olv*i3*\* 0.0 0.365 1.0 (1.0)  
cmyn*3*\* 1.0 0.635 0.0 (0.0)  
olv*i4*\* 0.0 0.365 1.0 1.0  
cmyn*4*\* 1.0 0.635 0.0 0.0

standard and adapted CIELAB  
LAB\*LAB 39.71 1.49 -49.43  
LAB\*LABa 39.71 1.41 -49.45  
LAB\*TChA 50.0 49.48 271.64

relative CIELAB lab\*  
lab\*lab 0.28 0.029 -0.998  
lab\*tch 0.5 1.0 0.755  
lab\*nch 0.0 1.0 0.755

relative Natural Colour (NC)  
lab\*lrj 0.28 0.0 -0.999  
lab\*tce 0.5 1.0 0.75  
lab\*ncE 0.0 1.0 b00r

relative Inform. Technology (IT)  
olv*i3*\* 0.0 0.182 0.5 (1.0)  
cmyn*3*\* 1.0 0.818 0.5 (0.0)  
olv*i4*\* 0.5 0.682 1.0 0.5  
cmyn*4*\* 0.5 0.318 0.0 0.5

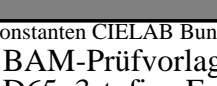
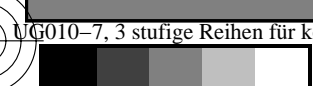
standard and adapted CIELAB  
LAB\*LAB 28.86 0.79 -24.7  
LAB\*LABa 28.86 0.71 -24.72  
LAB\*TChA 25.01 24.74 271.64

relative CIELAB lab\*  
lab\*lab 0.14 0.014 -0.499  
lab\*tch 0.25 0.5 0.755  
lab\*nch 0.5 0.5 0.755

relative Natural Colour (NC)  
lab\*lrj 0.14 0.0 -0.499  
lab\*tce 0.25 0.5 0.75  
lab\*ncE 0.5 0.5 b00r

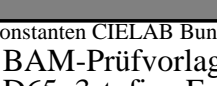
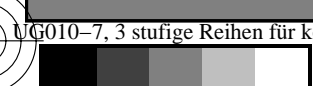
n\* = 0,00  
Schwarzheit n\*

n\* = 1,00  
relative Buntheit c\*

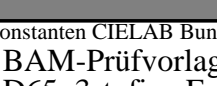
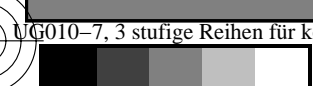


v  
-8  
-6

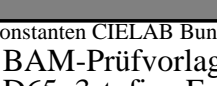
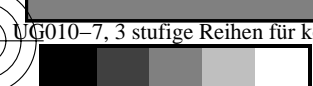
C M Y O L V  
-8  
-6



C M Y O L V  
-8  
-6



C M Y O L V  
-8  
-6



C M Y O L V  
-8  
-6